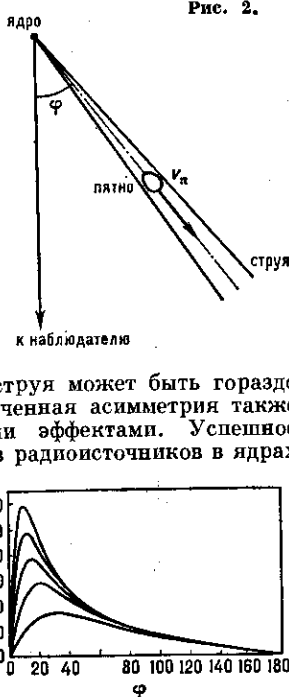


зом: $v = Dv'$, $e_v(v) = D^2 e_{v'}(v')$, где $D = [\gamma(1 - Vn/c)]^{-1}$ — фактор Доплера, n — единичный вектор, направленный в точку наблюдения. Эти ф-лы отражают релятивистские эффекты смещения частоты и aberrации излучения (см. Доплера эффект). Тогда при степенном законе $e_{v'}(v') \sim (v')^{-\alpha}$ отношение потоков S от струй, вытекающих в противоположные стороны из ядра, равно:

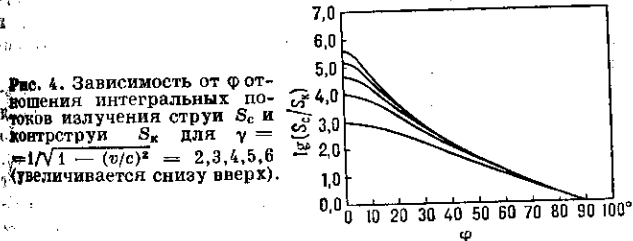
$$\frac{S_c}{S_k} = \left(\frac{1 + V \cos \varphi / c}{1 - V \cos \varphi / c} \right)^{2+\alpha}.$$

На рис. 4 показана зависимость этого отношения от φ при типичном значении $\alpha = 0,6$. Очевидно, что направлена к наблюдателю струя может быть гораздо ярче контрасти. Т. о., отмеченная асимметрия также объясняется релятивистскими эффектами. Успешное объяснение этих и др. свойств радиоисточников в ядрах

Рис. 3. Зависимость от φ наблюдаемой скорости движения «пятна» для различных значений фактора Лоренца пространственных перемещений $v_n = 1/\sqrt{1-(v_n/c)^2}$ ($v_n = 2,3,4,5,6$; увеличивается снизу вверх).



галактик сделало модель релятивистской струи очень популярной, хотя и не общепризнанной среди астрофизиков. В этой модели «струя» радиоисточника рассматривается действительно как релятивистское струйное течение плазмы из ядра галактики. Радиоядро связано с оптически толстым нач. участком струи или



со стационарной ударной волной в этой струе, сверхсветовые «пятна» — с нестационарными ударными волнами. Повыш. яркость этих деталей объясняется процессами усиления магн. поля и ускорения релятивистских электронов на ударном фронте (см. Ускорение заряженных частиц).

Lit.: 1) Rees M. J., Appearance of relativistically expanding radio sources, «Nature», 1968, v. 211, p. 468; 2) Cohen M. H. и др., Small-scale structure of radio galaxies and quasi-stellar sources at 3.8 centimeters, «Astrophys. J.», 1971, v. 170, p. 207; 3) Whittle A. R. и др., Quasars revisited rapid time variations observed via very-long baseline interferometry, «Science», 1971, v. 173, p. 225; 4) Benson J. M. и др., VLBI and merlin observations of 3C 120 AT 1.6 Hz-superluminal motions beyond 90.5, «Astrophys. J.», 1988, v. 334, p. 560.

С. С. Комиссаров.

СВЕРХСИЛЬНЫЕ МАГНИТНЫЕ ПОЛЯ — поля с напряжённостью $H \geq 1$ МЭ (граница условна). Классификацию магн. поля обычно связывают со способами получения полей. Слабые (до 0,5 кЭ) и средние (до 10 кЭ) магн. поля получают в лаб. условиях с помощью постоянных магнитов и электромагнитов. Для получения сильных стационарных полей до ~ 300 кЭ исполь-

зуют охлаждаемые и сверхпроводящие катушки (катушки) (см. Сверхпроводящий магнит). Поля св. 300 кЭ получают практически только в квазистационарных (длительность импульса $\tau \sim 10^{-3} \div 10$ с) или импульсных ($\tau < 10^{-3}$ с) режимах при пропускании сильных электрич. токов через катушки разл. конструкций либо при сжатии внеш. силами магн. потока внутри замкнутого проводящего витка (лайнера). Генерация С. м. п. с напряжённостью $\gtrsim 1$ МЭ сопровождается существ. повреждениями материала катушек и даже их разрушением, т. е. магн. системы становятся пригодными только для однократного применения. Простейший способ получения С. м. п. — разряд батареи импульсных конденсаторов через одновитковый катушку. Таким способом получают магн. поля до 4 МЭ. Поле в 4 МЭ обладает плотностью энергии $H^2/8\pi$, сравнимой с энергией связи атома в твёрдых телах \mathcal{E} (для металлов \mathcal{E} имеет величину неск. эВ/ат). В зоне действия такого поля происходит, как правило, полное разрушение (превращение в пар) материала катушки. Самые высокие значения поля (вплоть до 25 МЭ) в лаб. условиях получают методом сжатия магн. потока с использованием энергии взрывчатых веществ (ВВ).

Совр. физику интересуют и более высокие поля, недостижимые пока в лаб. практике, их влияние на строение атомов и молекул и соответственно на физ. свойства веществ. Оказывается, что существенных эффектов можно ожидать, напр., когда силы со стороны магн. поля $H_{\text{ат}}$ становятся преобладающими по сравнению с кулоновским взаимодействием электрона с ядром. Это происходит, когда величина поля $H > H_{\text{ат}} = m^2 e^3 / h^3 = 2,35 \cdot 10^8$ Э. Ещё более сильное поле $H_{\text{кв}} = m^2 c^3 / e h = 4,4 \cdot 10^{13}$ Э определяет границы применимости классич. электродинамики. В полях $H > H_{\text{кв}}$ значит, роль играют не только релятивистские, но и квантовые эффекты.

Астрофиз. исследования указывают на существование гигантских магн. полей у нек-рых типов звёзд (см. Магнитные поля звёзд). Напр., у белых карликов обнаружены поля $\sim 10^7$ Э, у быстровращающихся нейтронных звёзд (пульсаров) — $10^9 \div 10^{12}$ Э. Ещё более высокие поля ($10^{10} \div 10^{13}$ Э) зарегистрированы у рентгеновских пульсаров — в двойных звёздных системах, одна из к-рых является нейтронной звездой. Сжатие магн. потока при гравитаци. коллапсе звезды может приводить к возникновению магн. полей 10^{14} Э. Эти уникальные природные источники открывают возможность для изучения С. м. п. такого уровня и их влияния на перестройку атомных структур, приводящую к появлению новых, необычных состояний вещества.

С. м. п., существующие в микромире, могут быть обнаружены при проведении нек-рых физ. экспериментов. Поля $10^6 \div 10^7$ Э имеются вблизи ядер свободных атомов, на что указывает сверхтонкая структура энергетич. уровней электронов (см. также Внутрикристаллическое поле). С. м. п. возникают при фокусировании мощных лазерных пучков. Напр., при фокусировке лазерного излучения мощностью $P = 10^{12}$ Вт на площади $S = 10^{-4}$ см² плотность эл.-магн. энергии P/cS в фокусе соответствует напряжённости поля $H = (8\pi P/cS)^{1/2}$, т. е. $\sim 10^7$ Э. Признаки существования магн. полей напряжённостью до 10^8 Э обнаружены при кумуляции плазмы в установках типа плазменного фокуса. Магн. поля звёздного уровня должны возникнуть при нецентральных столкновениях тяжёлых ионов. Эквивалентный электрич. ток ионов при таких взаимодействиях может возбуждать магн. поле $H = (Z_1 + Z_2)eV/4\pi cR^2$. При относительной скорости ионов $v = 0,1$ с и суммарном заряде $(Z_1 + Z_2) > 170$ на очень коротких расстояниях R , сравнимых с радиусом ядра, поле может достигать величины $\sim 10^{14}$ Э.

Получение сильных и сверхсильных магнитных полей. Задачи получения сильных магн. полей в лаб.